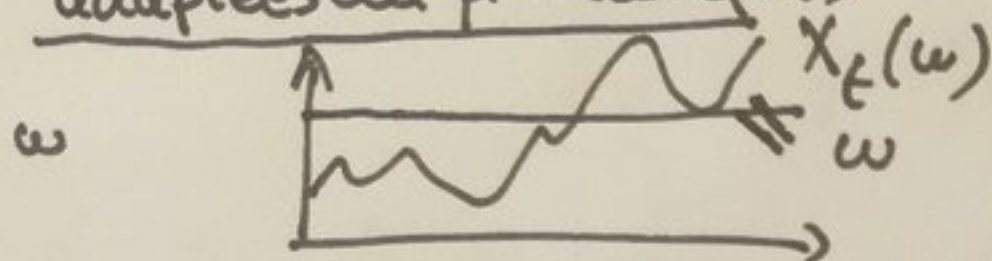


Processus d'Ito

$$dX_t = a_t dt + b_t dB_t$$

des fonctions aléatoires.  
adaptées au processus  $(B_t)$



Markovien  
Continu.

Diffusion d'Ito

$$dX_t = \underline{a(X_t)} dt + b(X_t) dB_t$$

$$\mathbb{R} (C_0([0, T], \mathbb{R}) \equiv \Omega)$$

$$dX_t = B_t^2 dt + dB_t$$

Définition d'un proc

$(\Omega, \mathcal{F}, P)$   
 ↑ ensemble  
 ↑  $\sigma$ -algèbre  
 ↑ mesure de proba.

on définit une v.a.  $X: (\Omega, \mathcal{F}) \rightarrow (\mathbb{R}, \mathcal{B}(\mathbb{R}))$   
 fonction mesurable

$\forall O \in \mathcal{B}(\mathbb{R}), X^{-1}(O) \in \mathcal{F}$   
 $\mathcal{F}_X$  la tribue engendrée par une v.a.  $X$  :  $\mathcal{F}_X \subset \mathcal{F}$

$$X: (\Omega, \mathcal{F}_X) \rightarrow (\mathbb{R}, \mathcal{B}(\mathbb{R}))$$



$$(\Omega, \mathcal{F})$$

$$A \in \mathcal{F}$$

$$(\Omega, \mathcal{F}) \longrightarrow (\mathbb{R}, \mathcal{B}(\mathbb{R}))$$

$$\chi_A : \omega \longmapsto \begin{cases} 1 & \text{si } \omega \in A \\ 0 & \text{sinon} \end{cases}$$

est fonction mesurable

$$\chi_A^{-1}(\{0\}) = \bar{A}$$

$$\chi_A^{-1}(\{1\}) = A$$

$$\mathcal{F}_{\chi_A} = \{\emptyset, \Omega, A, \bar{A}\}$$

$$\chi_A : (\Omega, \mathcal{F}_{\chi_A}) \longrightarrow (\mathbb{R}, \mathcal{B}(\mathbb{R}))$$

mesurable

$$X = (X_0, X_1, X_2)$$

$$\sigma(X_0, X_1, X_2)$$

plus petite tribue  
engendrée par  $X_0, X_1, X_2$

Lemme de Doob-Dynkin 1112-3

Soit  $Y$  une variable aléatoire  
 $X$  —————

$Y$  est  $\mathcal{F}_X$ -mesurable ssi  $(=)$

$$\exists g : (\mathbb{R}, \mathcal{B}(\mathbb{R})) \longrightarrow (\mathbb{R}, \mathcal{B}(\mathbb{R}))$$

mesurable

$$\text{tq } Y = g(X)$$

Exemple :

$$Y \in \sigma(X_0, X_1, X_2)$$

$$\exists g \text{ tq } Y = g(X_0, X_1, X_2)$$

$$g : (\mathbb{R}^n, \mathcal{B}(\mathbb{R}^n)) \longrightarrow (\mathbb{R}, \mathcal{B}(\mathbb{R}))$$

$$\omega \in \Omega$$

$$Y(\omega) = g(X_0(\omega), X_1(\omega), X_2(\omega))$$

Exemple  $X$  est  $w(0, 1)$

$$Y = X^2 \quad Y \text{ est-elle } \mathcal{F}_X\text{-mesurable}$$

$$g : x \longmapsto x^2$$

$$\begin{array}{l}
 a_t \in \underbrace{\sigma((B_s)_{s \leq t})} \\
 b_t \in \underline{\hspace{2cm}} \\
 \text{et} \\
 \mathbb{E} \left[ \int_0^T a_t^2 dt \right] < +\infty \\
 \mathbb{E} \left[ \int_0^T b_t^2 dt \right] < +\infty
 \end{array}
 \quad \equiv$$

$(a_t, b_t)_{t \in [0, T]}$  sont des processus adaptés au Brownien  
 et d'énergie moyenne finie

$$dX_t = B_t^2 dt + dB_t$$

$$a_t = B_t^2 \in \sigma(B_t) \subset \sigma((B_s)_{s \leq t})$$

$$b_t = 1$$

$$A(\omega) = \int_0^T a_t^2(\omega) dt$$

$$\mathbb{E}_P[A(\omega)]$$



↑  
marginale

$$\frac{dx}{dt} = a(x) + b(x) \eta \frac{1}{\sqrt{\delta t}}$$

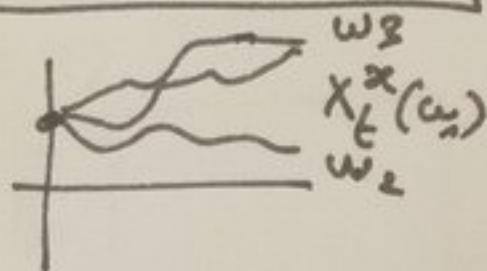
①

$$dX_t = a(X_t)dt + b(X_t)dB_t$$

une diffusion d'Ito.

Formule d'Ito.

$$X_0 = x$$

Une observable  $f$  est une fonction bornée

$$X_t^x$$

le processus solution de ①  
et issue de la CI  $X_0 = x$ 

$$\forall \omega, X_0(\omega) = x$$

Soit  $f_0$  une observable  $f(t, x) = f_0[X_t^x]$ 

$$f(t, x)(\omega) = f_0[X_t^x(\omega)]$$

on définit

$$f(t, x) \equiv \mathbb{E}[f_0(X_t^x)]$$

déterministe

$$\text{or } Y_t = f_0[X_t^x] \rightarrow d$$

$$dY_t = f_0'(X_t^x) dX_t^x + \frac{1}{2} f_0''(X_t^x) dX_t^{x^2}$$

$$= \left[ f_0'(X_t^x) \cdot a(X_t) + \frac{b^2(X_t)}{2} f_0''(X_t^x) \right] dt$$

$$Y_t = Y_0 + \int dt + \int \dots dB_t$$

$$\mathbb{E}[Y_t] = \mathbb{E}[Y_0] + \mathbb{E}\left[\int \cdot dt\right] + 0$$



$$f(t+dt, x) = \mathbb{E}[f_0(X_{t+dt}^x)]$$

$$= \underbrace{\mathbb{E}[f_0(X_t^x)]}_{f(t, x)} + \mathbb{E}\left[f_0'(X_t^x) a(X_t^x) + \frac{b^2(X_t^x)}{2} f_0''(X_t^x)\right] dt$$

$$\partial_t f = \mathbb{E}[\mathcal{L} f_0]$$

$$\mathcal{L} \equiv \underbrace{a}_{a(x)} \partial_x + \underbrace{\frac{b^2}{2}}_{b(x)} \partial_x^2$$

$$\mathcal{L} f_0 = a(x) \partial_x f_0(x) + \frac{b^2(x)}{2} \partial_x^2 f_0(x)$$

ad m

$$(\mathcal{L} f_0)(X_t^x(\omega)) =$$

$$\int a \partial_x p \cdot p = - \int b \cdot \partial_x (a p)$$

$$f(t, x) \equiv \mathbb{E}[f_0(X_t^x)] \quad \underline{f_0} \in C^2 \dots$$

vérifie la "dynamique des observables"

$$\partial_t f = \mathcal{L} f \quad \mathbb{E}[\mathcal{L} f] \rightarrow \mathcal{L}(\mathbb{E}[f])$$

$$\uparrow \quad f(t, \cdot) \text{ est } C^2$$

$$\mathbb{E}[f_0(X_t^x)]$$

$$f(t, x) = e^{\mathcal{L} t} f(0, x)$$

"dynamique des mesures"

$$\partial_t p = \mathcal{L}^* p$$

adjoint formel de  $\mathcal{L}$ .

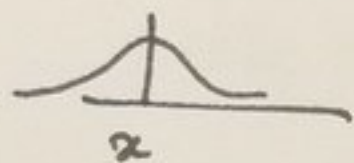
$$\mathcal{L}^* p = -\partial_x(a p) + \frac{1}{2} \partial_x^2(b p)$$



# Application: distribution limite

$$\partial_t P = \mathcal{L}^* P$$

$$\mathcal{L}^* P^\infty = 0$$



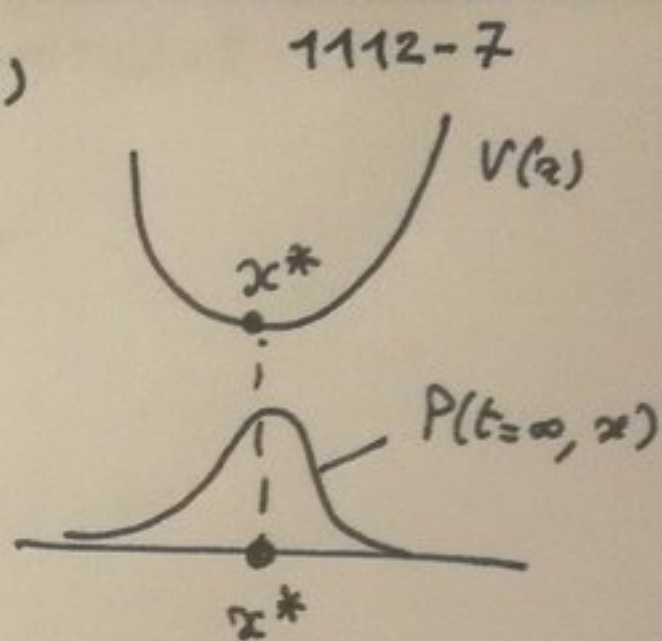
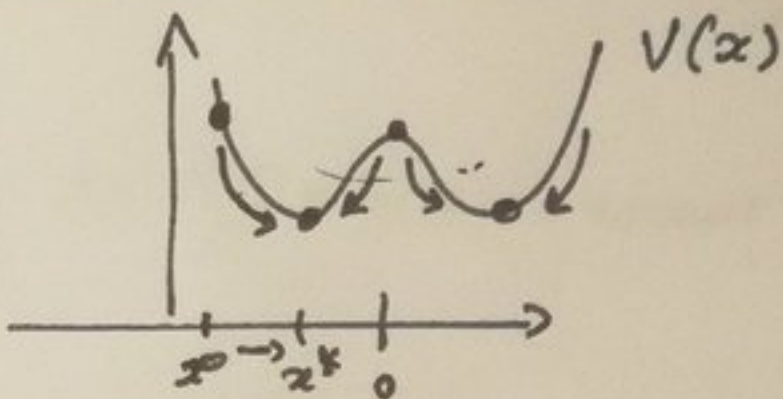
$$P^\infty(x)$$

$$\frac{dx}{dt} = -\nabla V(x)$$

dynamique à gradient  
"flot gradient"

$$\frac{d}{dt} V(x) < 0$$

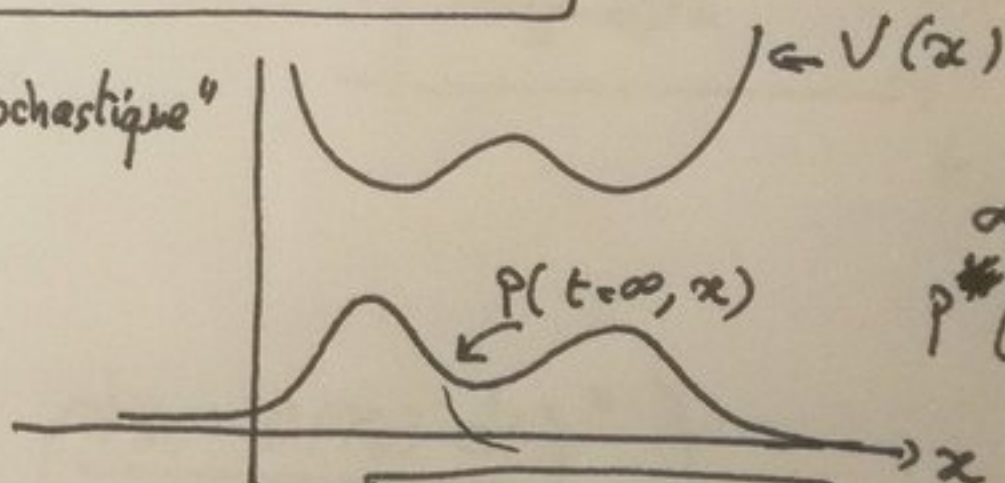
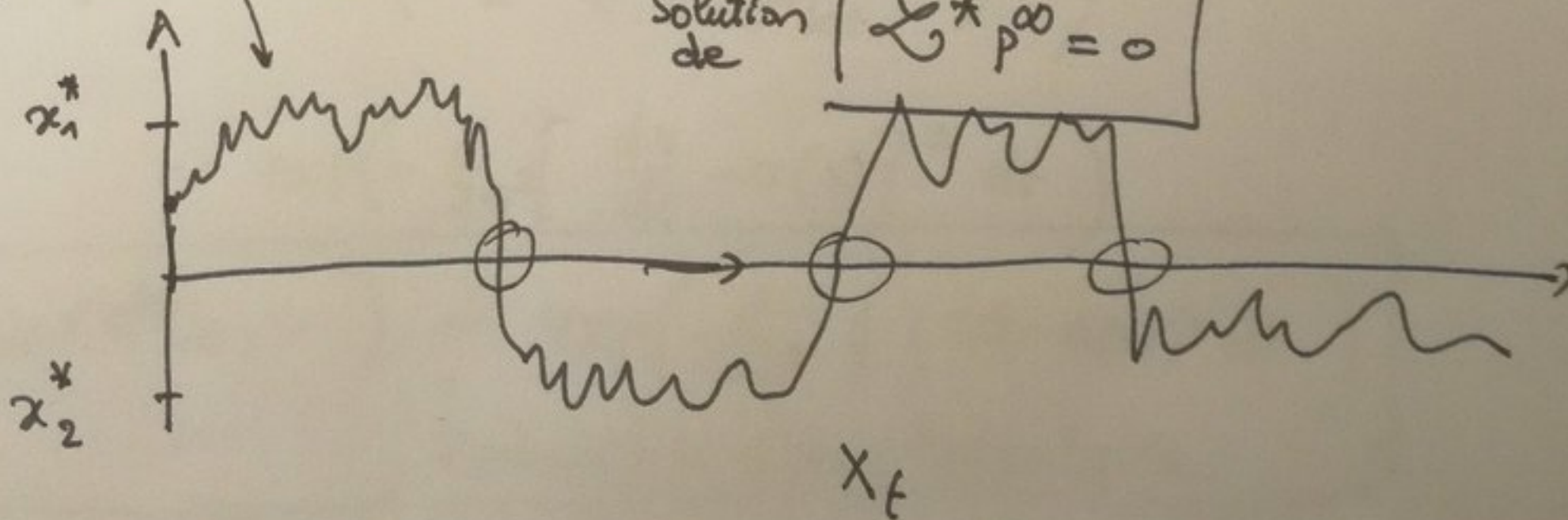
$$= -|\nabla V(x)|^2$$



$$dx = -\nabla V(x)dt + \sqrt{\epsilon(x_t)}dB_t$$

"Flot gradient stochastique"

Exemple de trajectoire  
pour la dynamique  
Flot gradient stochastique



$$P^\infty(x) = \lim_{t \rightarrow \infty} P(t, x)$$

Solution  
de

$$\mathcal{L}^* P^\infty = 0$$

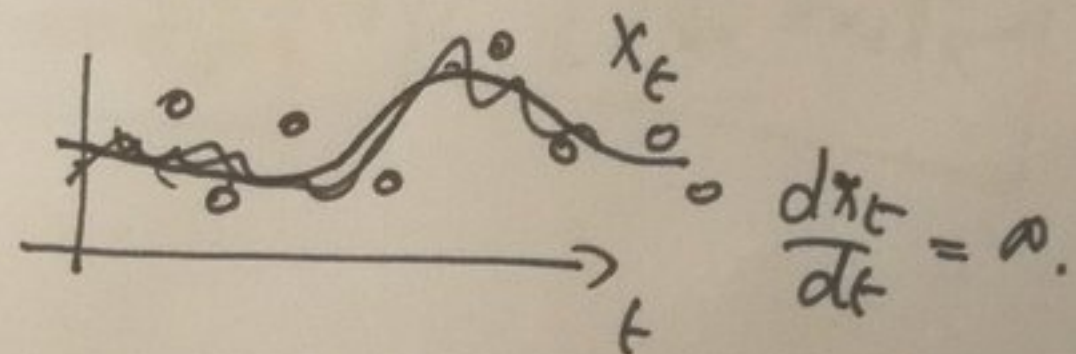
11-12-8

$$dx_t = a(x_t) dt + \underbrace{\sigma}_{\text{constante}} dB_t \quad \left. \vphantom{\frac{dx}{dt}} \right\} \Rightarrow \frac{dx}{dt} = a(x) + \text{"erreur"}$$

$$dB_t = \sqrt{dt}$$

$$\frac{dx_t - a(x_t) dt}{\sigma} = \underbrace{\int \sqrt{dt}}_{W(0,1)}$$

$$dx_t = x_{t+dt} - x_t$$



$$P(x_{t+dt} / x_t) \sim \exp\left(-\frac{1}{2} \left(\frac{dx_t - a(x_t) dt}{\sigma \sqrt{dt}}\right)^2\right)$$

$$\sim \exp\left(-\frac{1}{2\sigma^2} \left[\frac{dx}{dt} - a(x)\right]^2 dt\right)$$

$$P(x_0 \in dx_0, x_{dt} \in dx_{dt}, \dots) \sim \exp\left(-\frac{1}{2\sigma^2} \int_0^t (\ddot{x} - a(x))^2 dt\right)$$

Probabilité d'une trajectoire



fonctionnelle type  
4D-Var en continue.

$$J[x] = \underbrace{\frac{1}{2\sigma^2} \int_0^t (\dot{x} - a(x))^2 dt}_{J_{4Dvar}} + \underbrace{\left[ \frac{1}{2\sigma^2} \int_0^t (y_{0t} - H(x_t))^2 dt \right]}_{\text{erreurs d'obs}}$$

Brownien.

$$J_{4Dvar} = \frac{1}{2} \|x - x^b\|_{B^{-1}}^2 + \left[ \sum \frac{1}{2} \|\dot{x} - a(x)\|_{Q^{-1}}^2 \right] + \left[ \sum \frac{1}{2} \|y_{0t} - Hx_t\|_{R^{-1}}^2 \right]$$

Pour le cas continu

ici  $y_{0t}$  est un processus d'observation

$$dy_{0t} = H(x_t) dt + \sigma^0 dW_t$$

↑ autre  
Brownien indépendant de  $\beta_t$



$$B = (B_t)_{t \in [0, T]}$$

$$B_0 = 0$$

$$\Omega = [-1, 1]^n$$

$$B_{t+dt} = B_t + \xi \sqrt{dt}$$

$$\Omega = \mathbb{R}$$

$$\omega \rightarrow B(\omega) = (B_t(\omega))_{t \in [0, T]}$$

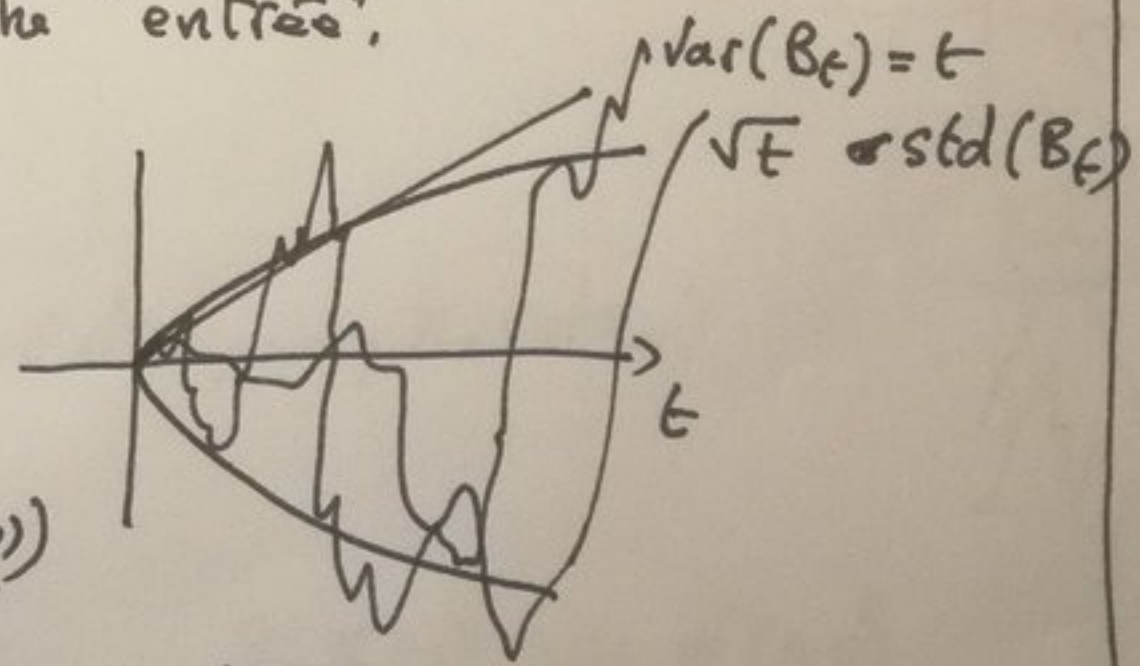
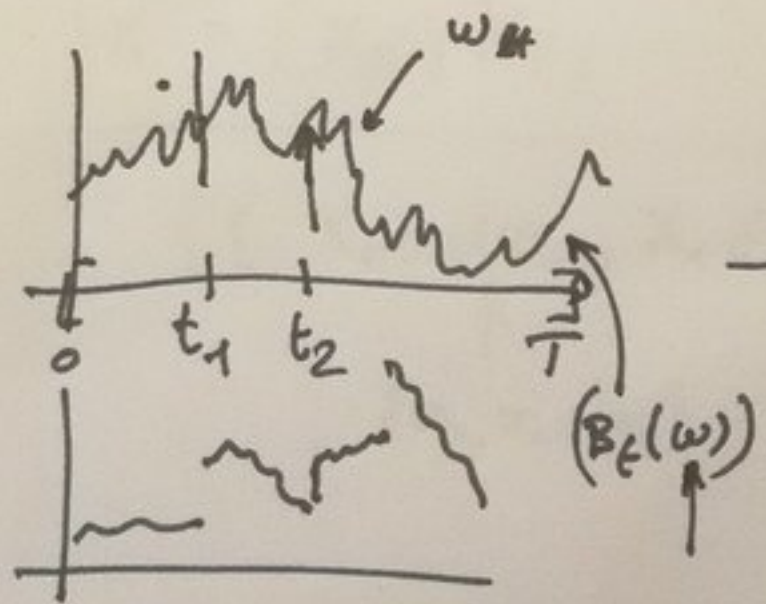
$$(\Omega, \mathcal{F}, P)$$

↑  
!

$$\mathcal{F}_t = \sigma((B_s)_{s \leq t})$$

cumsum ( $\Rightarrow$ )  $B_{q+1} = B_q + \xi_q \sqrt{dt}$

$\omega?$  = "entrée".



$$\omega = 1$$

$$y_{q+1} = y_q + K \sin y_q$$
$$y = (y_0 \dots y_\infty)$$

↑

$$B^{(\omega)} = (B_t(\omega))_{[0, T]}$$

$$\Omega = \mathbb{R}^{[0, T]}$$

$$\mathcal{L}^2([0, T], \mathbb{R})$$

$$dB_t = \sqrt{\delta t} \xi_t$$

$\uparrow$   $\mathcal{N}(0,1)$

$$B_{t+\delta t} = B_t + \xi_t \sqrt{\delta t}$$

1112-11

$$\mathbb{E}[|B_{t+\delta t} - B_t|^4] \leq \delta t^{1+\beta}$$

$$P(x_{t+T}, t+T / x_t, t) \propto \exp\left(-\frac{1}{2} \frac{(x_{t+T} - x_t)^2}{T}\right)$$

$$\mathbb{E}[|B_{t+\delta t} - B_t|^4] \leq 3 \delta t^2$$

$P(\dots)$

$$P(B_0, B_1, \dots, B_n) = \prod ( \quad )$$

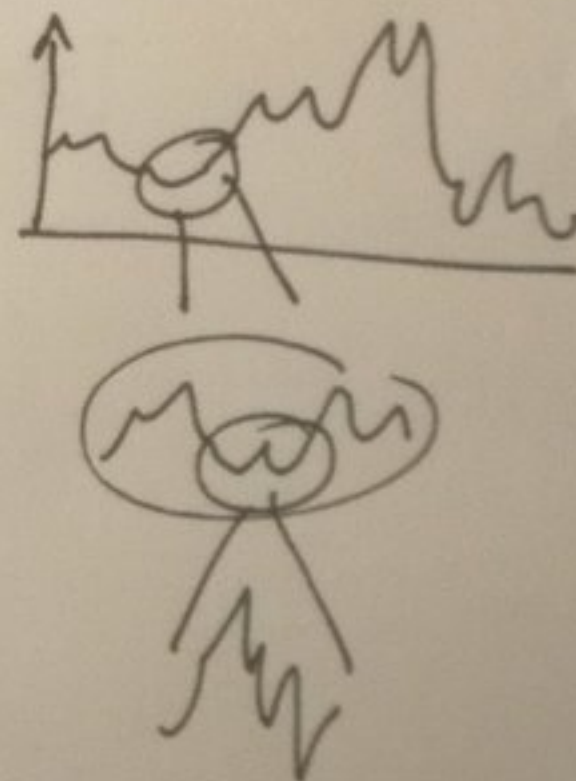
$\uparrow$   
 $B_{t_q} \quad t_q = q \delta t$

$$X = (X_0, X_1, \dots)$$

$$P(x_0 \in dx_0, x_1 \in dx_1, \dots, x_n \in dx_n)$$

$\uparrow$   
 $[x_0, x_0+dx_0]$

$$x_{t+T} = x_t + \xi_t^* \sqrt{T}$$



Si  $X$  est une  $\mathcal{N}(0, \sigma^2)$

$$\mathbb{E}[X^4] = 3 \mathbb{E}[X^2]^2 = 3 \sigma^4$$

$\uparrow$  Exemple d'application de la formule de Wick  
valable pour distribution Gaussienne centrée

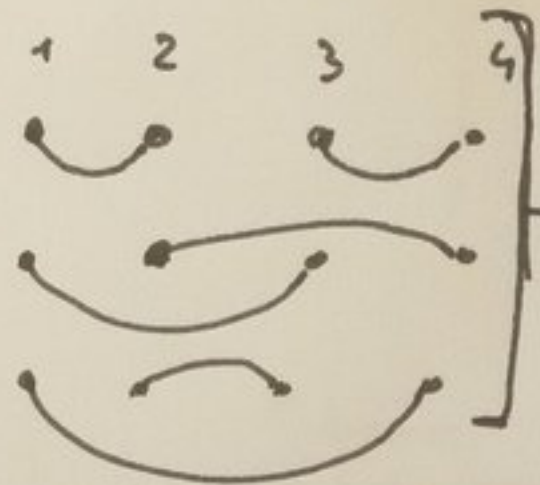


$$E[X_1 X_2 X_3 X_4] = \underbrace{E[X_1 X_2]}_{\substack{\uparrow \\ \text{Covariance}}} \underbrace{E[X_3 X_4]}_{\uparrow} + E[X_1 X_3] E[X_2 X_4] + E[X_1 X_4] E[X_2 X_3]$$

$X_i \sim$  normale  
Gaussienne

moment d'ordre 4

Formule de Wick



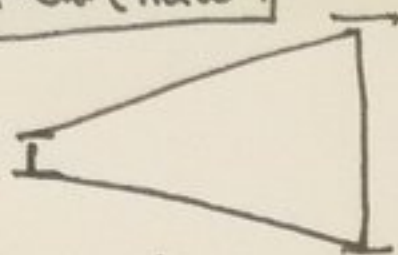
représentation graphique  
des termes contribuant au calcul

Calcul moment d'ordre 6

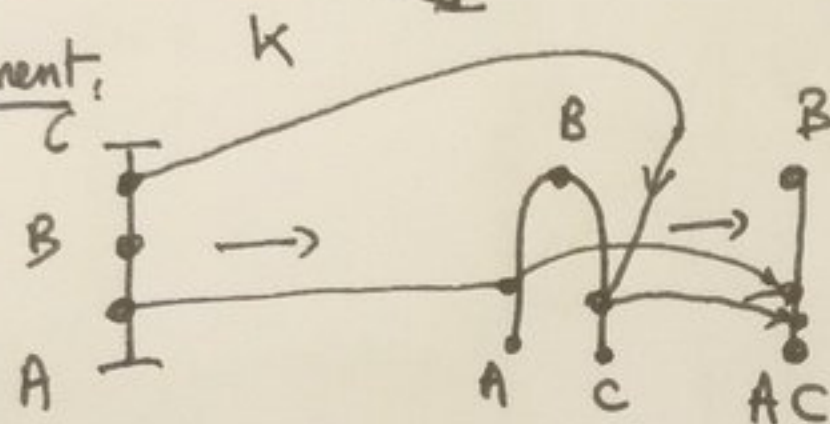
$$E[X_1 X_2 X_3 X_4 X_5 X_6] = E[X_1 X_2] \cdot E[X_3 X_4] \cdot E[X_5 X_6]$$

ingrédient du chaos :

étirement :

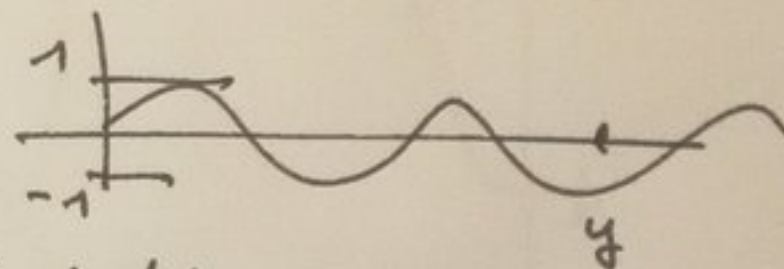
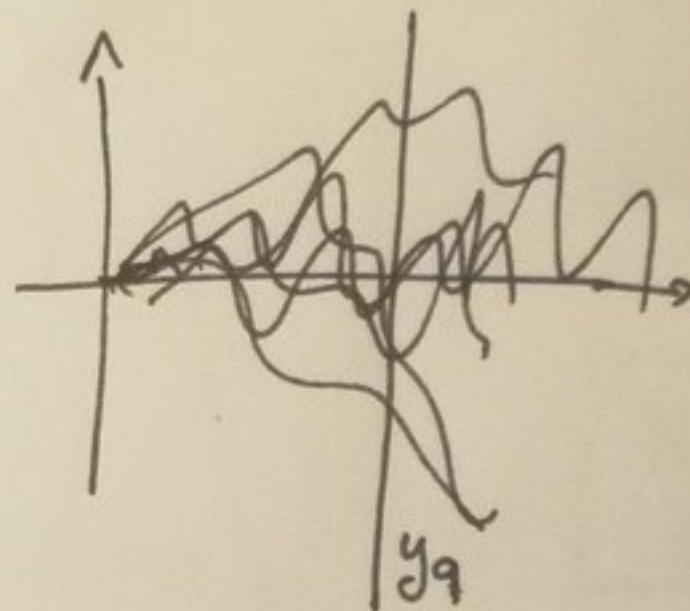
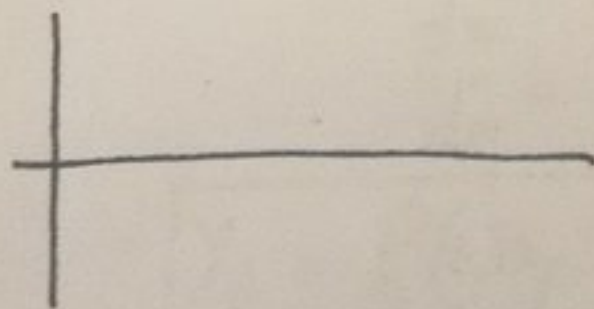
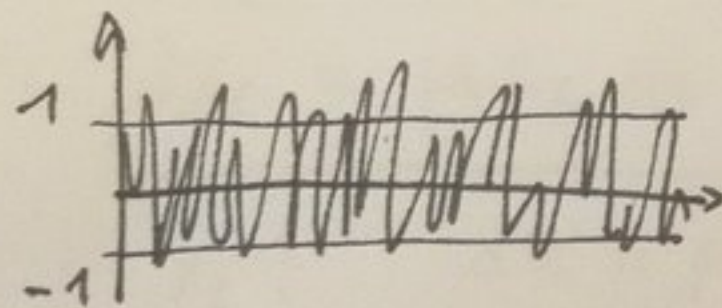


repliement :



$$\sin(y) \in [-1, 1]$$

$$y_{q+1} = K \sin y_q$$



$$B_{t+dt} = B_t + \int \sqrt{dt} w(0, t)$$

$$y_{q+1} = y_q + K \sin y_q$$

$$y_q = \sum_{k=0}^q K \sin y_k \sim \sqrt{w(0, q\sigma^2)}$$

$$\frac{1}{q} \sum_{k=0}^q \eta_k \sim w(0, \sigma^2)$$

TCL (Théorème de la limite Centrale)

$$\tilde{y}_q = \frac{1}{\sigma} \sqrt{dt} y_q$$

11-12-13

à q donné  
on a une  
Gaussienne  
(TCL)

itérés

$y_q(w)$

avec  $y_0(w) = y_0 + \int \cdot \varepsilon$

$\xi \sim w(0, 1)$   
 $\varepsilon = 10^{-6}$

$$t_q = q \sigma t$$

$$t_q = q \sigma^2$$

Suite  
"renormalisée"  
 $\sim$  Brownien



convergence  $(y_0^0) \leftarrow$  pour  $y_0 + \varepsilon \rightarrow y_0$   
 $\varepsilon \rightarrow 0$

$\left[ \begin{array}{c} \leftarrow \\ \wedge \\ : \\ : \end{array} \right]$

- on connaît une solution analytique  
 - on peut évaluer la qualité du schéma numérique

Mouvement Brownien Géométrique

$$dx_t = \mu x_t dt + \sigma x_t dB_t$$

$x_t ?$   $dx = \mu x dt$

$$\frac{dx}{dt} = \mu x \rightarrow x(t) = e^{\mu t} x(0)$$

$$y_t = f(t, B_t) = e^{at + bB_t}$$

avec  $f(t, x) = e^{at + bx}$

$$y_t = f(x_t)$$

$$x_t \in \mathcal{C}((B_s)_{0 \leq s \leq t})$$

$\Rightarrow$  Utilisation de la formule d'Itô pour le cas  $f$  dépendant de "t".

$$Y_t = f(x_t) \rightarrow dY_t = f'(x_t) dx_t + \frac{1}{2} f''(x_t) dx_t \cdot dx_t$$

$$Y_t = f(t, x_t) \rightarrow dY_t = \boxed{\partial_t f dt} + f'(x_t) dx_t + \frac{1}{2} f''(x_t) dx_t \cdot dx_t$$

$$\cancel{\frac{1}{2} \partial_t^2 f dt^2}$$

↑  
Formule d'Itô avec  $f$  dépendant de ' $t$ '.

$$\partial_t f^{(t, B_t)} = a e^{at + b B_t}$$

$$\partial_x f = b e^{at + b B_t}$$

$$\partial_x^2 f = b^2 e^{at + b B_t}$$



# Evaluation d'un schéma numérique

1112-16

Rappel  
cas  
déterministe

$$\frac{dx}{dt} = f(x)$$

$$x(t)$$

$$y_{q+1} = y_q + \delta t f(y_q)$$

$$(y_q) \approx \boxed{x(t_q)}$$

$$y_T \stackrel{?}{=} x(T)$$

$$|y_T - x(T)| \leq C \delta t^\alpha$$

Plusieurs manières de comparer  $Y_T$  et  $X_T$

Cadre  
stochastique

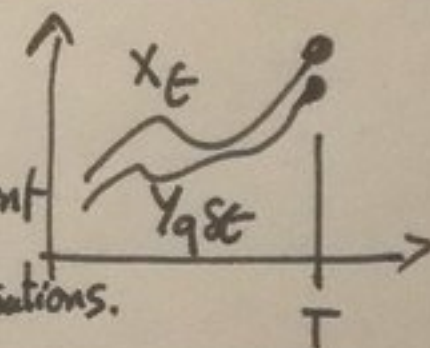
$$Y_T(\omega) \neq X_T(\omega)$$

p.s.

ou  $Loi(Y_T) = Loi(X_T)$

ou  $E[Y_T] = E[X_T]$

permet de  
contrôler  
le comportement  
du processus  
ie des réalisations.



peuvent être  $\neq$ .

$$|E[Y_T] - E[X_T]| \leq C \delta t^{\alpha_2}$$

$$|E[g(Y_T)] - E[g(X_T)]| \leq C \delta t^\beta$$

Pour  $\forall g$  bornée

$P_q$ :

logique car  $IP(A) \equiv E[\chi_A]$  donc  $g$  bornées suffisent!

Pour Euler-Maruyama  
ordre convergente faible: 1  
— — — — — forte:  $\frac{1}{2}$